



IRANIAN SOCIETY of
CRYSTALLOGRAPHY
and MINERALOGY

Vol. 16, No. 2, summer 1387/2008

IRANIAN JOURNAL of
CRYSTALLOGRAPHY
and MINERALOGY

Geology, Mineralization, Alteration and Geochemical Exploration in Kajeh area, Ferdows

M. H. Karimpour¹, M. Khosravi¹, M. Pourkhosro¹, M. R. Haidarian Shahri¹, S. Saadat²

1- Research center for ore deposit of Eastern Iran, Ferdowsi University of Mashhad

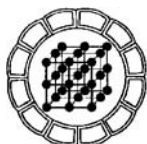
2- Dept. Geology, Mashhad Azad Islamic University

Email: mhkarimpour@yahoo.com

(Received: 17/10/2007, in revised form: 14/4/2008)

Abstract: The study area is situated within the Lut Block 50 Km northeast of Ferdows. The oldest exposed rocks are Cretaceous limestone. Kerman conglomerate cover the limestone. Dacite-rhyodacite lava and pyroclastic rocks erupted over Kerman conglomerate. Volcanic activities took place at different time in Tertiary. The composition ranges between trachyandesite, andesite, andesite-basalt and rhyolitic tuff. Sub-volcanic diorite, monzodiorite, monzonite, quartz monzonite and granite porphyry intruded the volcanic rocks during Oligo-Miocene time. Both volcanic and intrusive rocks are K-rich calc-alkaline to shoshonitic. Intrusive rocks (except granite porphyry) are I-type granite and belong to magnetite series. The pattern of spider diagrams both volcanic and intrusive rocks are similar. In comparison with mantle, They are enriched in Cs, K, Rb, La and Zr and depleted in Ba, P and Ti. Two groups of alteration zones are recognized: 1- silicified assemblages (silica-sericite-propylitic, silica-propylitic & silica- sericite). This group is related to granitic magma. 2- propylitic-sericitic-argillic group which are associated with monzonite, quartz monzonite-diorite intrusive rocks. Mineralization associated with granite porphyry show Mo, Ag, Pb and Zn anomalies. Mineralization associated with monzonite, quartz monzonite-diorite show signs of porphyry copper. They have Cu, Au, Pb and Zn geochemical anomalies.

Keywords: Kajeh, Ferdows, Geochemical exploration, alteration, mineralization.



زمین‌شناسی، کانی‌سازی، دگرسانی و دستاوردهای ژئوشیمیایی در منطقه کجه فردوس

محمدحسن کریم‌پور^۱، مجید خسروی^۱، محمود پورخسرو^۱، محمدرضا حیدریان شهری^۱، سعید سعادت^۲

۱- مرکز تحقیقات ذخایر معدنی شرق ایران دانشگاه فردوسی مشهد

۲- گروه زمین‌شناسی، دانشگاه آزاد اسلامی مشهد

mhkarimpour@yahoo.com

(دراфт مقاله: ۱۳۸۶/۷/۲۵، نسخه نهایی: ۱۳۸۷/۱/۲۶)

چکیده: منطقه مطالعاتی کجه در ۵۰ کیلومتری شمال غربی فردوس و در زون زمین‌ساختی بلوک لوت قرار گرفته است. آهکهای کرتاسه، قدیمی‌ترین سنگهای این منطقه را تشکیل می‌دهند. روی آهکهای کرتاسه واحد کنگلومراپی قرار گرفته است که آن را معادل کنگلومراپی کرمان می‌دانند. گدازه و توفهای داسیت-ریوداسیت روی کنگلومراپی کرمان تشکیل شده‌اند. فعالیت‌های آتشفسانی به صورت تراکی آندزیت، آندزیت، بازالت-آندزیت، و توف ریولیتی در مقاطع زمانی مختلف تکرار شده‌اند. توده‌های آفرین نیمه عمیق الیگو-میوسن با طیف ترکیبی دیوریت، مونزودیوریت، مونزونیت، کوارتز مونزونیت و گرانیت پورفیری در سنگهای آتشفسانی نفوذ کرده‌اند. توده‌های نفوذی و سنگهای آتشفسانی از نوع آهکی-قلایی غنی از پتاسیم و گاهی شوشونیتی، و توده‌های نفوذی (به استثنای گرانیت پورفیری) از نوع سری مگنتیت و گرانیت‌های از نوع A هستند. نمودار عنکبوتی سنگهای آتشفسانی و توده‌های نفوذی مشابه یکدیگرند. در مقایسه با گوشه، غنی شدگی عناصر Cs, K, Rb, La, Zr و کاهیدگی عناصر Ba, P, Ti مشاهده می‌شود. دو مجموعه از زون‌های دگرسان در منطقه رخمنون، به صورت (۱) مجموعه زون‌های سیلیسی (سیلیس-سریسیت-پروپیلیتیک، سیلیس-پروپیلیتیک و سیلیس-سریسیت) که به توده گرانیت پورفیری مرتبط‌اند، و (۲) مجموعه دگرسان پروپیلیتیک، سریستیک و آرژیلیک که به توده‌های نفوذی مونزونیت، کوارتز مونزونیت، و دیوریت ارتباط دارند. کانی‌سازی مرتبط به گرانیت پورفیری دارای نابهنجاری Mo, Pb, Zn, Ag است، و در کانی‌سازی مرتبط به کوارتز مونزونیت، مونزونیت، شواهدی از مس پورفیری و عناصر نابهنجار Cu, Pb, Au, Zn, Ag مشاهده شده‌اند.

کلمات کلیدی: کجه، فردوس، بررسی‌های ژئوشیمیایی، دگرسانی، و کانی‌سازی.

خاور ایران و مرز باختری گسل نایبند و بلوک طبس مشخص می‌شود. مرز شمالی این بلوک به گسل درونه و مرز جنوبی آن به فرونشتست جازموریان محدود می‌شود. بلوک لوت دارای پوسته قاره‌ای با ضخامت حدود ۴۰ کیلومتر است [۲]. از نظر چینه‌شناسی بلوک لوت تنوع قابل توجهی دارد و در آن سنگهای پرکامبرین تا کواترنر رخمنون دارند. ولی سنگهای دوران دوم و تنهنشتلهای جوان پلیوسن-کواترنر بخش چشمگیر بلوک لوت را می‌بوشند [۳]. اگرچه تاریخچه چینه-

مقدمه

منطقه مطالعاتی کجه در ۵۰ کیلومتری شمال غربی فردوس، و در زون زمین‌ساختی بلوک لوت واقع شده است. گستره مورد مطالعه با وسعت حدود ۶۵ کیلومتر مربع، بین "۵۷°۴۹'۲۷" - ۵۷°۴۹'۲۷" طول شرقی و "۳۴°۰۸'۱۶" - ۳۴°۱۳'۳۴" عرض شمالی قرار گرفته است (شکل ۱).

بلوک لوت با درازای حدود ۹۰۰ کیلومتر و پهنای حدود ۲۰۰ کیلومتر، با مرز خاوری گسل نهبندان و حوضه فلیشی

روش مطالعه

- پردازش داده‌های ماهواره لندست ETM+ این منطقه با نرم افزار ENVI 4.0.
- تهیه نقشه‌های زمین‌شناسی، کانی سازی، و دگرسانی با مقیاس 1:20000 (60 کیلومتر مربع).
- برداشت مقاطع نازک و برسیهای سنگی از 150 نمونه برای بررسی دقیق سنگ شناختی و دگرسانی.
- برداشت 24 نمونه برای تهیه بلوك‌های صیقلی و مقاطع نازک صیقلی برای برسیهای کانه‌نگاری.
- برداشت 17 نمونه از ته نشستهای رودخانه‌ای.
- برداشت 79 نمونه سنگی از زون‌های دگرسان و کانی‌سازی شده برای پی جوییهای ژئوشیمیایی.
- تجزیه نمونه‌ها با استفاده از روش جذب اتمی برای عناصر Cu, Zn, Pb, Ag, Sn, Sb, Mo داشتگاه فردوسی مشهد.
- تجزیه نمونه‌ها برای طلا در آزمایشگاه سازمان زمین‌شناسی کشور به روش جذب اتمی + کوره گرافیتی
- تجزیه نمونه‌هایی از توده‌های نفوذی عناصر اصلی و جزئی
- اندازه‌گیری پذیرفتاری مغناطیسی توده‌های نفوذی و سنگ‌های آتشفشنایی.

شناختی بلوك لوت رابطه بسیار نزدیکی با نواحی دیگر خرده قاره ایران مرکزی نشان می‌دهد، ولی چهار ویژگی زمین‌شناسی بر بلوك لوت حاکم‌اند:

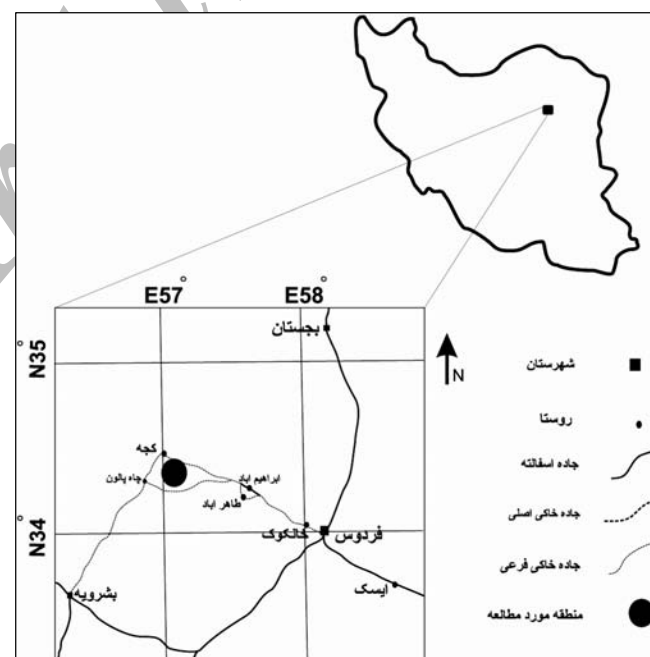
الف- تاثیر درخور توجه کوهزائی سیمیرین پیشین بر سنگ‌های کهن‌تر از تریاس میانی.

ب- چین‌خوردگی، آتشفشنایی، و پلوتونیسم شدید ژوراسیک میانی (سیمیرین میانی) به ویژه در نواحی دهسلم و چهارفرسخ که با پایداری و سخت‌شدگی بلوك همراه است.

ج- فراوانی سنگ‌های آتشفشنایی ترشیاری به ویژه اثوسن، که با داشتن ضخامت 2000 متر بیش از نیمی از بلوك لوت را می‌پوشاند.

د- نهشته‌های دریاچه‌ای تقریباً افقی پلیوس- پلیستوس بنام "سازند لوت" که نشانگر عملکرد ضعیف فاز پسین رخداد چین‌خوردگی در این بلوك است.

نخستین فعالیت ماقمایی در بلوك لوت مربوط به ژوراسیک (170 تا 164 میلیون سال) است که به صورت انواع توده‌های گرانیتی رخنمون دارند [4]. این در حالی است که این فعالیت در شمال بلوك لوت مربوط به کرتاسه فوقانی (75 میلیون سال) است [5]. مطالعاتی که توسط ترکیان در بلوك لوت صورت گرفت، حاکی از کانی‌سازی متنوع است [6, 7].



شکل ۱ موقعیت و راه دسترسی به منطقه مطالعاتی [1].

زمین‌شناسی منطقه سنگ شناختی

قدیمی ترین سنگهای این منطقه عبارتند از آهکهای کرتاسه که دارای فسیل‌های رودیست (شاص کرتاسه فوقانی) و کرینوئید فراوان بوده و در شرق منطقه رخنمون دارند. روی آهکهای کرتاسه، واحد کنگلومرایی قرار گرفته که آن را هم ارز کنگلومرایی کرمان می‌دانند. ضخامت این واحد در منطقه از 50 تا 70 متر در تغییر است. قطعات تشکیل دهنده این کنگلومراها بیشتر مربوط به آهک کرتاسه مربوط می‌شود. این قطعات گردشگی خوب تا متوسط و جوششگی ضعیف تا متوسط نشان می‌دهند.

واحدهای دیگر زمین‌شناسی عبارتند از:

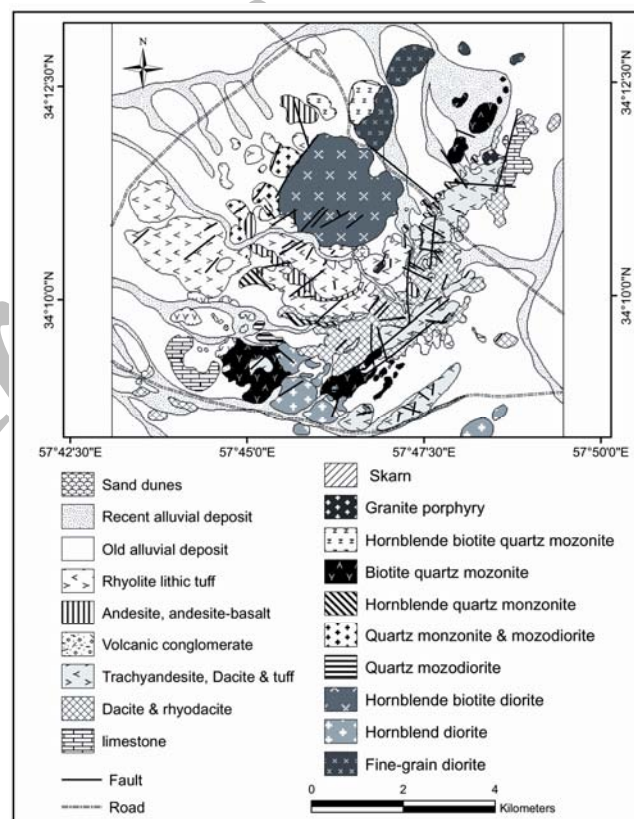
داسیت, ریوداسیت: این واحد بیشتر سنگهای آذرآواری و گاهی به صورت گدازه، بیشترین گسترش را در منطقه دارد (3/8 کیلومتر مربع). این سنگها روی آهکهای کرتاسه و واحد کنگلومرایی قرار گرفته‌اند و در بعضی نقاط به شدت سیلیسی

شده‌اند (شکل 2). اندازه و درصد کانی‌های قابل تشخیص در جدول (1) گزارش شده‌اند.

تراکی آندزیت: این سنگها با مساحت حدود 2/3 کیلومتر مربع روی واحد داسیتی قرار گرفته و به دو صورت گدازه و توف در ارتفاعات رحیمی دیده می‌شوند (شکل 2). اندازه و درصد کانی‌های قابل تشخیص در جدول (1) گزارش شده‌اند.

آندرزیت، هورنبلندر آندزیت و آندزیت- بازالت: این واحدها به صورت نواری از مرکز منطقه به سمت شمال غرب کشیده شده است (شکل 2). وسعت این واحد حدود 0/6 کیلومتر مربع است. بافت آنها تراکیتی و در نمونه دستی سیاه رنگ دیده می‌شوند. اندازه و درصد کانی‌های قابل تشخیص در جدول (1) گزارش شده‌اند.

لیتیک توف: این واحد با وسعت حدود 3/6 کیلومتر مربع در بخش‌های مرکزی و شمال باختری منطقه رخنمون دارد. با توجه به فراوانی قطعات سنگی، این توفها از لحاظ ساخت و بافت جزو توفهای سنگی به حساب می‌آیند. مقدار و درصد کانی‌های قابل تشخیص در جدول (1) گزارش شده‌اند.



شکل 2 نقشه زمین‌شناسی منطقه کجه [1, 8].

جدول 1 ترکیب کانی‌شناختی سنگهای آتشفشتانی منطقه کجه.

نام واحد	پلازیوکلاز	آلکالی فلدوپات	کوارتز	بیوتیت	هورنبلند	پیروکسن	کانی اوپاک
داسیت، ریوداسیت	0.2-1.4 mm	0.4-1 mm	0.4-0.8 mm	-	-	-	%2-3
تراکی‌آنزیت	%20-25 0.2-1.5 mm	0.4-1.5 mm %10-20	0.4-0.8 mm	%2-3	%5-10	-	%1-2
هورنبلند آنزیت و آندریت- بازالت	%55-65 0.1-0.2 mm	0.1-0.2 mm %5-8	%4-6		%5-15	%5-20	%4-5
لیتیک توف	%15-20	%15-18	%5-8	%1-2	-	-	%2-3

درصد) است. اندازه و درصد کانیهای قابل تشخیص در جدول (2) گزارش شده‌اند.

هورنبلند کوارتز مونزونیت پورفیری: این واحد به صورت سه رخمنون در باخته و شمال خاوری منطقه دیده می‌شود (شکل 2). گسترش این واحد در منطقه در حدود 0.4 کیلومتر مربع است. بافت این سنگها پورفیری است. اندازه و درصد کانیهای قابل تشخیص در جدول (2) گزارش شده‌اند.

کوارتز مونزونیت پورفیری: این واحد به صورت رخمنون کوچکی (0/1 کیلومتر مربع) در بخش شمال باخته منطقه دیده می‌شود (شکل 2). بافت این سنگها از نوع پورفیری است. اندازه و درصد کانی‌های قابل تشخیص در جدول (2) گزارش شده‌اند.

گرانیت پورفیری: رخمنون بسیار کوچکی از این واحد در مرکز به سمت شمال منطقه دیده می‌شود (شکل 2). این سنگها بافت پورفیری دارند و فنوکریستهای (35 تا 40 درصد) کوارتز در زمینه سیلیسی و کربناتی تشکیل شده است. کوارتز در این سنگ به دو صورت اولیه (درشت دانه) و ثانویه (ریز دانه) دیده می‌شوند. کانیهای کدر به مقدار بسیار اندک به صورت شکلدار در این سنگ دیده می‌شوند.

اسکارن: در جنوب باخته منطقه، نفوذ توده‌های هورنبلند دیوریت پورفیری، کوارتز مونزودیوریت پورفیری و بیوتیت کربناته خارج از گستره مطالعاتی و مجاور حاشیه جنوب باخته منطقه است) باعث تشکیل اسکارن شده است که رخمنوهای کوچکی از آن در منطقه قابل مشاهده است.

هورنبلند دیوریت پورفیری: این واحد با گسترش حدود 1.7 کیلومتر مربع در بخش جنوبی و جنوب باخته منطقه رخمنون دارد (شکل 2). بافت این سنگها از نوع پورفیری است و کانیهای فنوکریست به 50 تا 60 درصد می‌رسد. اندازه و میزان درصد کانیهای قابل تشخیص در جدول (2) گزارش شده است.

هورنبلند بیوتیت دیوریت پورفیری: این واحد با وسعت حدود 1.2 کیلومتر مربع در مرکز نقشه رخمنون دارد (شکل 2). بافت این سنگها، پورفیری تا گلومروی پورفیری است (فنوکریست 45 تا 50 درصد). اندازه و درصد کانی‌های قابل تشخیص در جدول (2) گزارش شده‌اند.

کوارتز مونزودیوریت پورفیری: به صورت دو رخمنون کوچک (0.12 کیلومتر مربع) در باخته منطقه دیده می‌شوند (شکل 2). این سنگها بافت پورفیری و بادامکی دارند و حاوی 55 تا 60 درصد فنوکریست هستند. اندازه و درصد کانیهای قابل تشخیص در جدول (2) گزارش شده‌اند.

هورنبلند بیوتیت کوارتز مونزونیت پورفیری: رخمنون کوچکی (0.15 کیلومتر مربع) از این واحد در جنوب توده هورنبلند بیوتیت دیوریت پورفیری مشاهده شده است (شکل 2). بافت این سنگها پورفیری است. اندازه و درصد کانی‌های قابل تشخیص در جدول (2) گزارش شده‌اند.

بیوتیت کوارتز مونزونیت پورفیری: در جنوب و جنوب باخته منطقه با گسترش حدود 1.3 کیلومتر مربع رخمنون دارد (شکل 2). بافت این سنگها پورفیری (فنوکریست 35 تا 40

جدول 2 ترکیب کانی‌شناختی توده‌های نفوذی منطقه کجه.

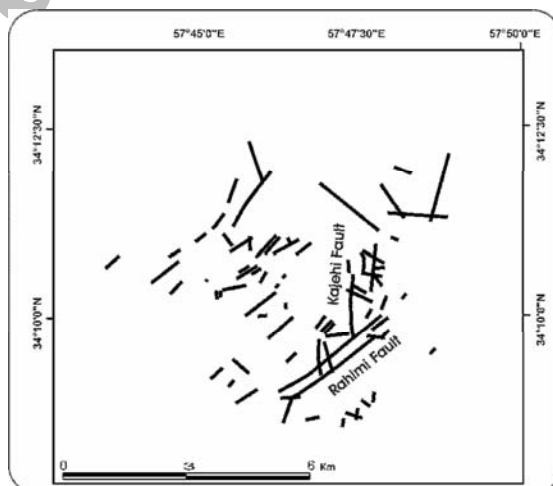
نام واحد	پلازیوکلار	فلدسبات قلایای	کوارتز	بیوتیت	هورنبلند	پیروگسن	کدر
هورنبلند دیبوریت	0.5-1.5 mm %40-50	%2-3	-	-	%3-5	0.5-10 0.5-1.5 mm	-
هورنبلند بیوتیت دیبوریت	0.3-0.7 mm %20-40	0.4-1.3 mm %5-8	1 mm %4-7	1 mm %2-3	0.2 mm %5	0.2 mm %5	%3-5
کوارتز مونزو دیبوریت	1-1.5 mm %55-60	0.5-1.3 mm %7-15	-	%10-15	%2-3	-	%2-3
هورنبلند بیوتیت کوارتز مونزو نیت	0.2-2 mm %15-20	0.2-1.3 mm %10-15	%10-15	%5-8	%0-1	%4-6	%3-6
بیوتیت کوارتز مونزو نیت	0.1-1.5 mm %15-20	0.1-1 mm %15-18	0.5-1.5 mm %4-6	0.5-1.5 %8-15	%0-3	0.5-1.5 mm %4-6	%2-3
هورنبلند کوارتز مونزو نیت	0.5-1.5 mm %25-35	0.4-1.6 mm %25-35	%1-4	%15-17	%10-14	%2-4	%1-3
کوارتز مونزو نیت	0.5-1.5 mm %20-25	0.3-1 mm %10-12	-	%15-20	-	-	%1-3

گسل از دوگسل اصلی و فرعی تشکیل شده است و بیشتر کانی‌سازی‌ها و گود برداریها (ترانشه و چاهک) در بخش غربی این گسل‌ها صورت گرفته است.
گسل چاه پالون: گسل چاه پالون با راستای شمال خاوری-جنوب باختری در بخش شمال باختری منطقه مورد مطالعه قرار دارد و از نوع عادی است که در بخش‌های جنوبی تقریباً پوشیده است. واحدهایی که در بخش‌های باختری آن واقع شده‌اند، یک افتادگی نسبی را نشان می‌دهند. آثار کانی‌سازی در عرض این گسل نیز دیده می‌شوند.
گسل کجه: گسل کجه از نوع راستا لغز با روند شمالی-جنوبی است (شکل ۳). آغاز و پایان آن تقریباً پوشیده شده، ولی بخش مرکزی آن باعث جابه جایی شده است.

زمین‌شناسی ساختاری منطقه

با مطالعات صحراوی روی انواع شکستگی‌ها (گسل و درزه) می‌توان پی برد که منطقه کجه از لحاظ زمین ساختی فعلی بوده و به شدت زمین ساخته شده است. در این منطقه سه گسل اصلی و تعداد زیادی گسل فرعی با روندهای شمالی-جنوبی و شمال خاوری-جنوب باختری شناخته شده‌اند (شکل ۳).

گسل رحیمی: این گسل با طول حدود ۳,۵ کیلومتر و عرض حدود ۵۰ متر، مهمترین گسل منطقه مورد مطالعه است زیرا بیشتر کانی‌سازی‌ها، آثار شدادی و گودبرداریها در راستای این گسل صورت گرفته است. این گسل از نوع عادی و از روند شمال خاوری-جنوب باختری است، و شیب ۸۰-۸۵ درجه در راستای شمال باختری است. این گسل در بخش جنوب خاوری منطقه مورد مطالعه قرار گرفته است (شکل ۳). کانی‌سازی منطقه بیشتر در راستای این گسل صورت گرفته است. این

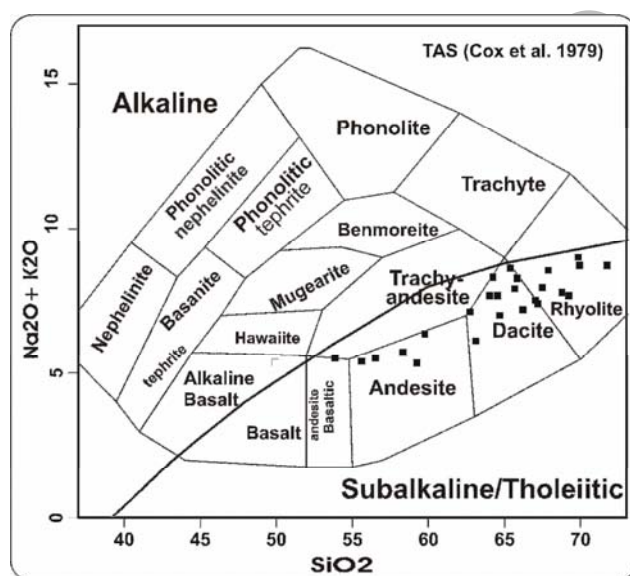


شکل 3 نقشه گسل‌های منطقه [8, 1].

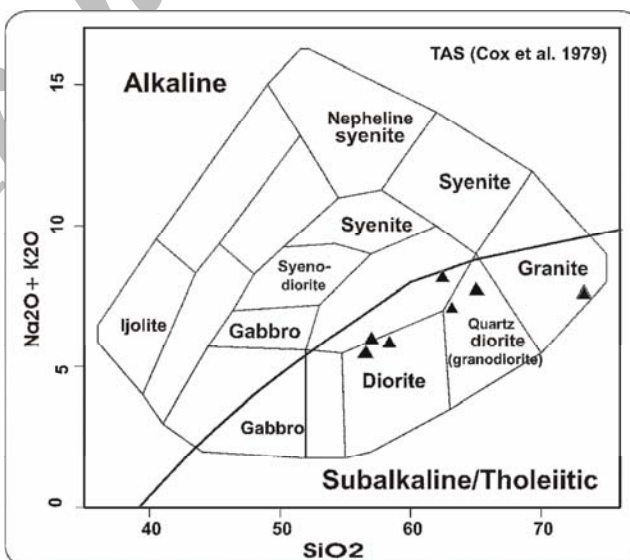
در نمودار شکل (7) توده‌های نفوذی و سنگهای آتشفسنایی از نوع آهکی- قلیایی غنی از پتاسیم و برخی شوشوئیتی هستند. نمودار عنکبوتی سنگهای آتشفسنایی و توده‌های نفوذی نسبت به گوشه‌تهی ترسیم شدند (شکل‌های 8 و 9). تفاوتی بنیادی بین دو نمودار مشاهده نمی‌شود. در مقایسه با گوشه‌های شدگی عناصر Cs, K, Rb, La, Zr و کاهیدگی عناصر Ba, P, Ti مشاهده می‌شود (شکل‌های 8 و 9).

سنگ شناختی

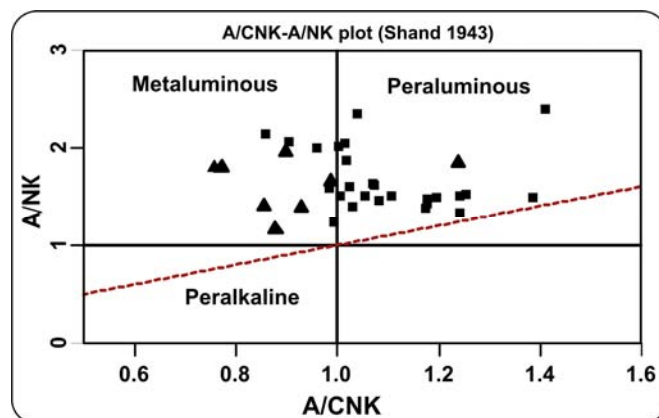
ترکیب شیمیایی سنگهای آتشفسنایی و توده‌های نفوذی در نمودار کاکس [9] ترسیم شده‌اند (شکل‌های 4 و 5). برپایه این نمودارها سنگهای آذرین منطقه از نوع نیمه قلیایی هستند. در نمودار شاند توده‌های نفوذی (مثلث) بیشتر متالومینوس و سنگهای آتشفسنایی بیشتر پرماتالومینوسند (شکل 6).



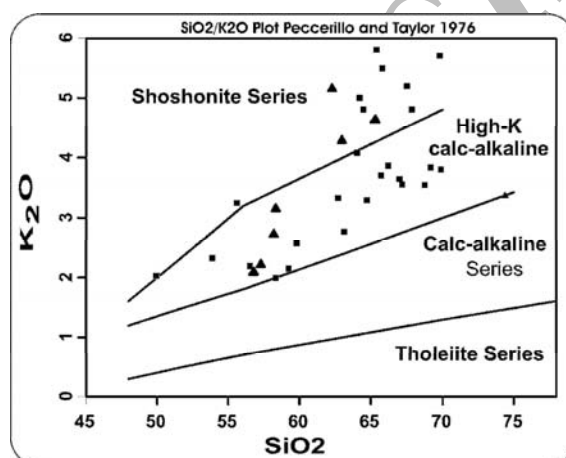
شکل 4 نامگذاری سنگ‌های آتشفسنایی [10, 9].



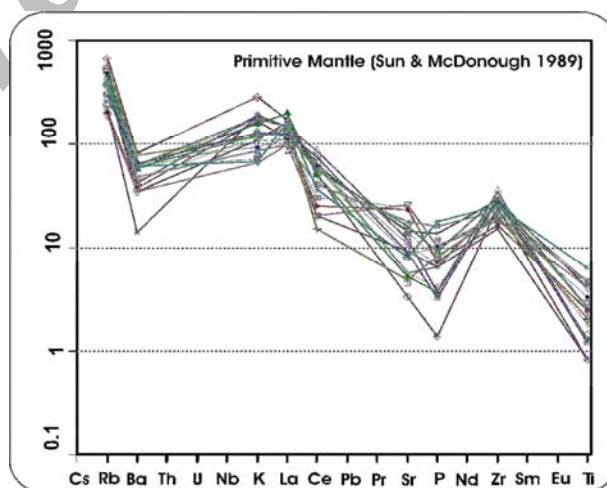
شکل 5 نامگذاری توده‌های نفوذی [11, 9].



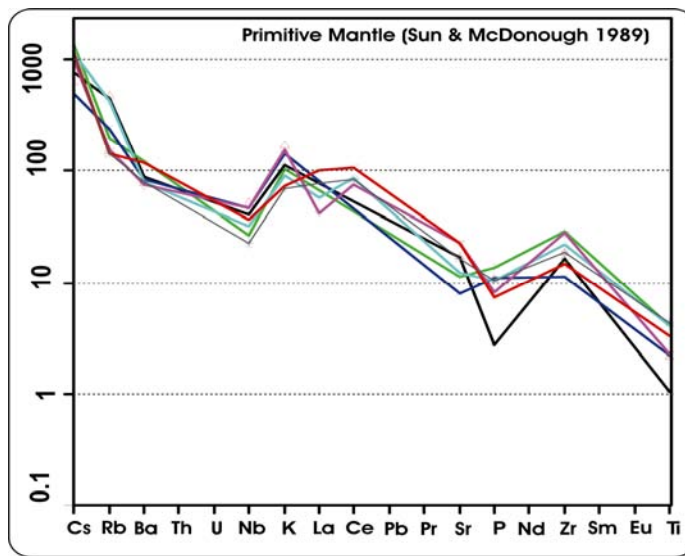
شکل 6 نمودار شاند برای تعیین شاخص آلمینیوم [12-13].



شکل 7 نمودار پیکولی و تیلور برای تعیین سری تولئی ایت از آهکی-قیلایی [10, 11, 13].



شکل 8 نمودار عنکبوتی سنگهای آتشفشاری [14].



شکل 9 نمودار عنکبوتی توده‌های نفوذی [14].

سیلیسی خود به چند زون از جمله: زون سیلیس- سریسیت- پروپلیتیک، زون سیلیس - پروپلیتیک، و زون سیلیس - سریسیت قابل تقسیم است (شکل 10).

دگرسانی سریسیتیک: در مرکز و باخترا نقشه (شکل 10) انواع دگرسانی سریسیتیک رخنمون دارند. این دگرسانیها نسبتاً گسترده بوده و گستره گسترده‌ای را پوشش می‌دهند. برپایه فراوانی، به انواع زون‌های سریسیت، سریسیت - سیلیس، سریسیت - آرژیلیک، و سریسیت - پروپلیتیک قابل تقسیم است (شکل 10). این دگرسانی با کانی‌سازی مس همراه بوده و با توده‌های مونزونیت و کوارتز مونزونیت در ارتباط است.

دگرسانی آرژیلیک: در باخترا نقشه (شکل 10) دگرسانی آرژیلیک با شدت متوسط رخنمون دارد.

دگرسانی پروپلیتیک: این دگرسانی گسترش نسبتاً زیادی دارد (شکل 10). احتمالاً در چند مرحله زمانی رخداده است. برپایه میزان فراوانی کانی‌های دیگر به زون‌های: پروپلیتیک، پروپلیتیک - سریسیتیک - آرژیلیک، پروپلیتیک - آرژیلیک - تقسیم می‌شوند (شکل 10). زون پروپلیتیک - سریسیتیک - آرژیلیک از زون سریسیتیک را در بر می‌گیرد (شکل 10).

کانی‌سازی: کانی‌سازی منطقه احتمالاً در دو مرحله رخ داده است. 1- کانی‌سازی وابسته به گرانیت پورفیری و 2- کانی-سازی وابسته به کوارتز مونزونیت - دیوریت پورفیری. به نظر

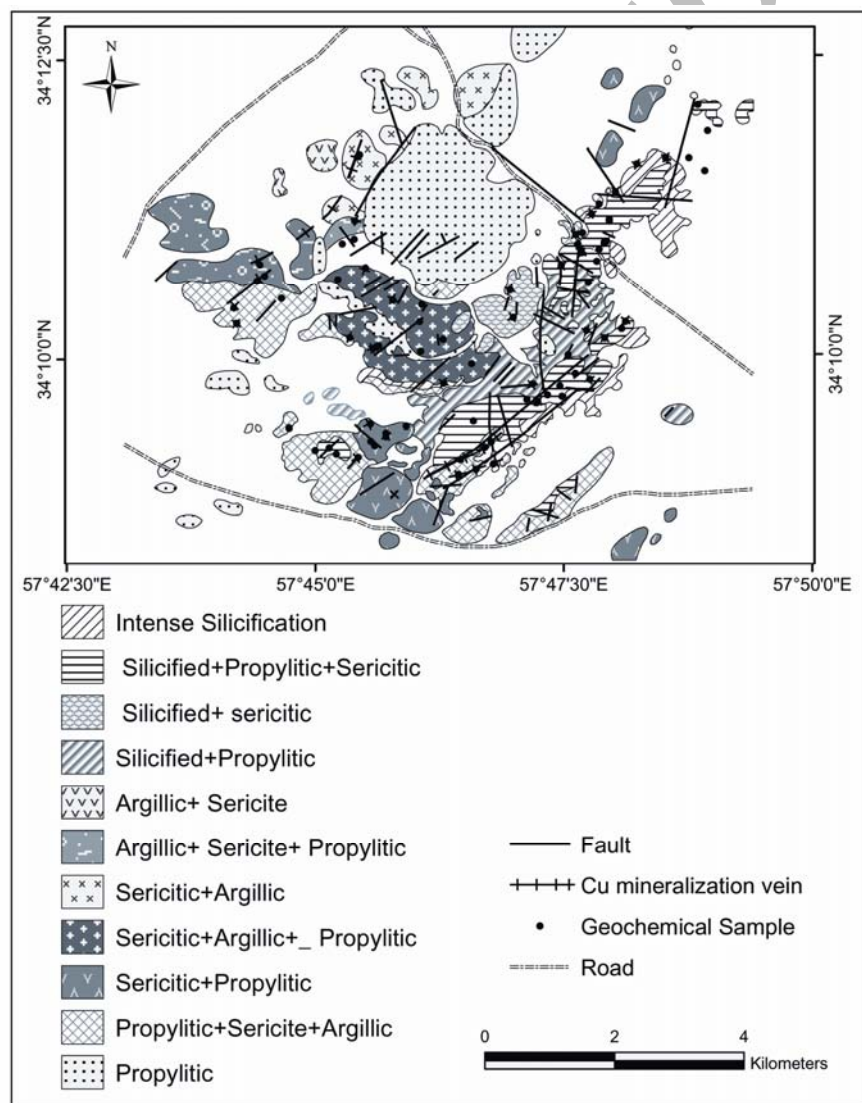
دگرسانی و کانی‌سازی
بر پایه منطقه بندی، شکل، ابعاد، و ارتباط آنها با توده‌های نفوذی و گسل‌ها، حداقل دو مجموعه از زون‌های دگرسان در منطقه رخنمون دارند. 1- مجموعه زون‌های سیلیسی (سیلیس - سریسیت - پروپلیتیک، سیلیس - پروپلیتیک و سیلیس - سریسیت) در شرق نقشه در راستای گسل رحیمی و گسل کجه (شکل 10). این مجموعه با توده گرانیت پورفیری که در خاور نقشه در شمال جاده کجه رخنمون دارد وابسته‌اند. 2- مجموعه دگرسانی پروپلیتیک، سریسیتیک، و آرژیلیک در مرکز و باخترا نقشه رخنمون دارند (شکل 10). این دگرسانیها با مجموعه توده‌های نفوذی مونزونیت - کوارتز مونزونیت و دیوریت در ارتباط هستند.

دگرسانی سیلیسی: سیلیس به صورت کوارتز ریز بلور به حالت رگچه، در متن سنگ و رگه‌های کوارتز و آمیتیست مشاهده می‌شود. در خاور نقشه (شکل 10) و در شمال جاده یک گرانیت پورفیری رخنمون دارد. توده گرانیت و سنگهای آتشفشاری مجاور آن به شدت سیلیسی شده‌اند، به طوریکه رگچه‌های سیلیس از فراوانی بیشتری برخوردارند. به سمت جنوب در امتداد گسل رحیمی و گسل کجه فراوانی رگه‌های کوارتز - آمیتیست افزایش می‌یابد. با دور شدن از رخنمون گرانیت پورفیری علاوه بر کوارتز، کانیهای سریسیت، کلریت - آپیدوت در سنگ دیده می‌شوند که برپایه میزان فراوانی، زون

آهن و کربنات، سیلیکات، اکسید و سولفیدهای مس به صورت ثانویه در سطح زمین مشاهده می‌شوند. در راستای گسل رحیمی کانی سازی مس به صورت رگه‌ای تشکیل شده است. دو رگه تقریباً موازی در بخش جنوبی منطقه رخنمون دارند. رگه اصلی با راستای N50E حدود 2 کیلومتر طول دارد. آثار شدادی فراوان به همراه آثار معدن‌کاری جدید (ترانشه و چاهک) در محل دو رگه اصلی و فرعی دیده می‌شوند که نشان از سابقه طولانی بهره برداری در این منطقه است [15].

می‌رسد که در این منطقه بخش فوقانی کانی سازی به گرانیت پورفیری وابسته باشد که پیشنهاد می‌شود مورد بررسی و مطالعه بیشتری قرار گیرد. بررسیها نشان داده‌اند که کانی‌سازی مس کوارتز مونزونیت و مونزونیت احتمالاً به نوع پورفیری وابسته باشد.

در باخته و مرکز منطقه (شکل 10)، کانی‌سازی به حالت افسان و داربستی در توده‌های نفوذی و سنگهای آتش‌شان رخداده است. پیریت و کالکوپیریت به صورت اولیه و اکسیدهای



شکل 10 نقشه دگرسانی منطقه کجه [1 و 8].

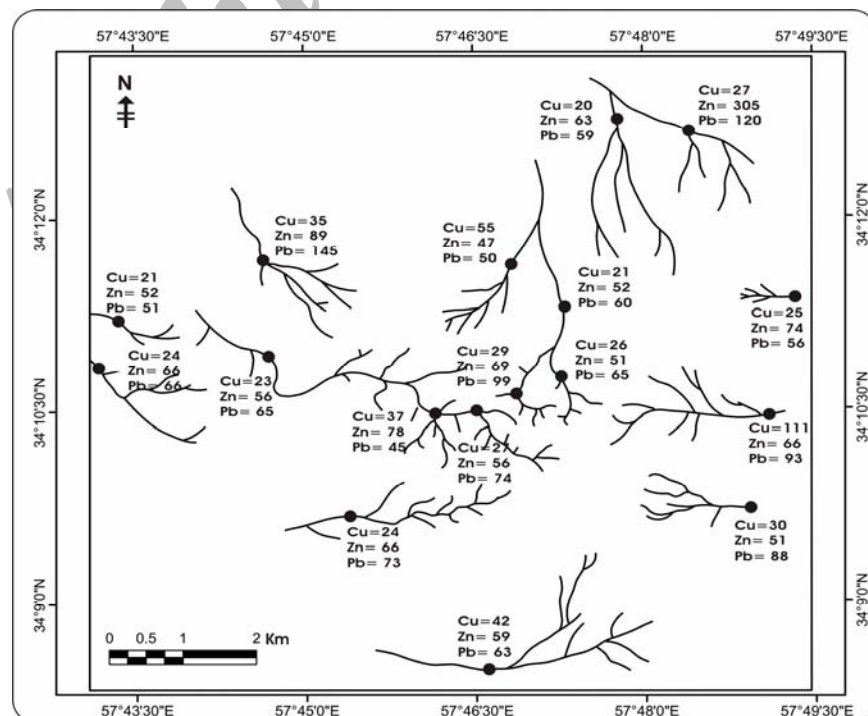
12). میزان مس بین 45 ppm تا 48000 ppm نغییر می-کند (جدول 3). نتایج تجزیه مس با زونهای دگرسان - کانی-ساز، و توده‌های نفوذی همچوای خوبی نشان می‌دهند. نابهنجاری Mo در بخش شمال و شمال خاوری و در گستره کرانیت پورفیری دیده می‌شود (شکل 12). میزان Mo بین 1 ppm تا 80 ppm نغییر می‌کند (جدول 3). نابهنجاریها Pb, Zn, Ag همپوشی خوبی با یکدیگر نشان می‌دهند (شکل 12). میزان Pb بین 20 ppm تا 23000 ppm، میزان Zn بین 40 ppm تا 52000 ppm و میزان Ag بین 1 ppm تا 34 ppm تغییر می‌کند (جدول 3). در بخش خاوری منطقه کانی‌سازی از روند شمال خاوری - جنوب باختり برخوردار بوده و بیشتر به صورت رگه‌ای و در راستای گسلهای رحیمی و کجه رخداده است (شکل 12). نابهنجاری دوم در باختر و شمال باختری قرار دارد (شکل 12). در بیشتر دوازده نمونه تجزیه شده طلا نابهنجاری ثبت شده، به طوریکه بیشترین غلظت آن در نمونه‌های KAG-54، KAG-55، KAG-5، KAG-54، گزارش شده است (جدول 4).

پی‌جوییهای ژئوشیمیایی

برپایه نتایج داده‌های ماهواره‌ای، نقشه زمین‌شناسی، دگرسانی، و نقشه توپوگرافی، 17 نقطه برای برداشت ته نشستهای رودخانه‌ای مناسب تشخیص داده شدند (شکل 11). نمونه‌ها پس از آماده سازی تا حد 80 mesh - خردابیش و برای عناصر Cu- Au, Pb, Zn, Ag, Sn, Sb, Mo میزان نابهنجاری Pb, Zn در نمونه‌های شمالی مشاهده شد (شکل 11)، ولی بیشترین نابهنجاری Cu در نمونه‌های خاوری (شکل 11)، و تعدادی از نمونه‌های مرکزی و بخش جنوبی قابل مشاهده‌اند (شکل 11).

79 نمونه سنگی به روش خردخ سنگ از زونهای مختلف دگرسان و کانی‌سازی شده، برای پی‌جوییهای ژئوشیمیایی برداشت شدند (شکل 10). نمونه‌ها پس از آماده‌سازی با استفاده از روش جذب اتمی برای عناصر Cu, Zn, Pb, Ag, Sn, Sb, Mo مورد تجزیه و تحلیل قرار گرفتند (جدول 3). 12 نمونه از مجموع 79 نمونه انتخاب و برای طلا در آزمایشگاه سازمان زمین‌شناسی کشور به روش جذب اتمی + کوره گرافیتی تحلیل شدند (جدول 4).

نقشه ژئوشیمی مس نشان می‌دهد که نابهنجاریها مس در غرب، مرکز، و بخش جنوبی منطقه پراکنده شده‌اند (شکل



شکل 11 نقشه محل و نتایج ته نشستهای رودخانه‌ای بر حسب (ppm) [1, 8].

جدول ۳ نتایج تجزیه شیمیایی نمونه‌های سنگی منطقه کجه [۱، ۸]

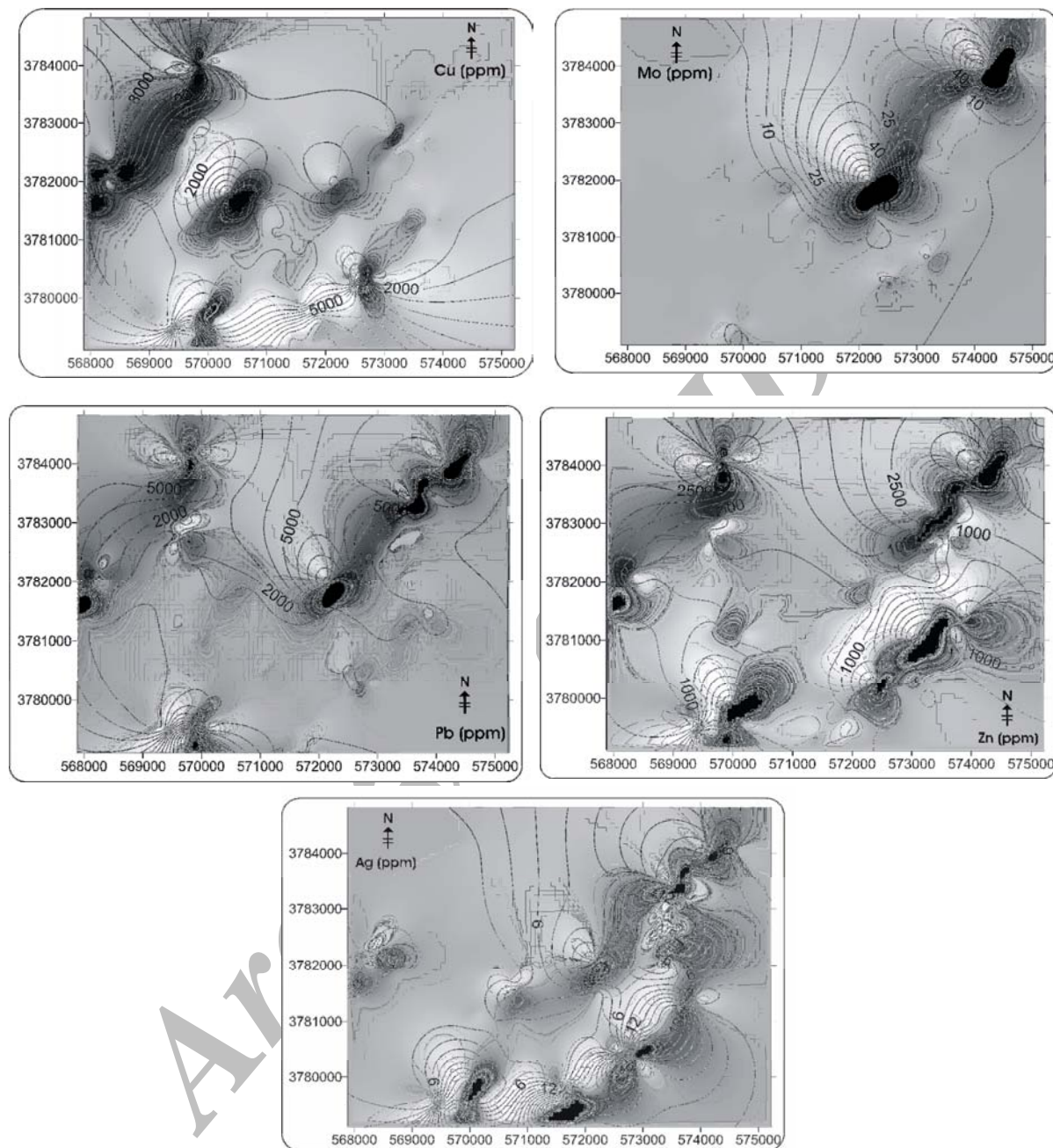
Sample	X	Y	Cu (ppm)	Zn (ppm)	Pb (ppm)	Ag (ppm)	Sn (ppm)	Sb (ppm)	Mo (ppm)
kag-1	569797	3784006	17000	37500	19000	0,8	0,8	8	1,8
kag-2	569827	3784036	30,7	16	122,4	0,8	0,8	8	1,5
kag-3	569758	3783018	85,4	52,9	82,3	0,8	0,8	8	1,5
kag-4	569745	3782729	1100	1300	5000	0,8	0,8	8	1,8
kag-5	569561	3782657	47,7	24,1	89	0,8	0,8	8	1,5
kag-6	569492	3782102	318,2	87,6	222,4	0,8	0,8	8	1,5
kag-7	567882	3781661	27400	15000	23000	12	0,8	8	1,5
kag-8	568242	3782074	108,4	75,3	45	0,8	0,8	8	1,5
kag-9	568283	3782331	10000	892,2	2300	0,8	0,8	8	1,5
kag-10	568357	3782155	8000	306,7	3200	10,3	0,8	8	1,5
kag-11	568623	3781816	310,5	846,5	520	0,8	0,8	8	1,5
kag-12	567929	3781420	392,8	180,2	431,2	0,8	0,8	8	1,5
kag-13	568737	3779812	23,8	14,3	47,9	0,8	0,8	8	1,5
kag-14	569808	3779364	15000	7300	15000	27,6	0,8	8	7
kag-15	569471	3779417	30000	10000	7400	19,5	0,8	8	1,5
kag-16	569359	3779508	128,6	69,2	81,7	0,8	0,8	8	1,5
kag-17	569140	3779474	383,5	48,8	420,9	0,8	0,8	8	1,5
kag-18	570062	3779546	263,9	74,5	155,1	0,8	0,8	8	1,5
kag-19	569999	3779611	461,1	840,9	435,2	14,1	0,8	8	1,5
kag-20	569994	3779876	3400	20400	2000	19,5	0,8	8	1,5
kag-21	570238	3779683	126,5	619,2	570,1	0,8	0,8	8	1,5
kag-22	570236	3779740	96,7	1600	559,9	0,8	0,8	8	1,5
kag-23	570550	3779843	280,4	211,1	161,2	0,8	0,8	8	1,5
kag-24	571132	3780500	256,7	185,4	356,4	0,8	0,8	8	1,5
kag-25	571596	3779919	308,8	159,5	203,6	0,8	0,8	8	1,5
kag-26	571870	3779605	26000	119,3	146,4	17,6	0,8	8	1,5
kag-28	572420	3780246	137,8	3500	569,8	17,5	0,8	8	6
kag-29	569678	3781207	1500	1200	588,5	0,8	0,8	8	1,5
kag-30	570042	3781035	367,7	489,3	925,7	0,8	0,8	8	1,5
kag-31	570123	3781076	36,3	144,1	247	0,8	0,8	8	1,5
kag-32	570773	3780993	56,6	138,8	133,8	0,8	0,8	8	1,5
kag-33	571564	3780804	41,4	55,8	114,9	0,8	0,8	8	1,5
kag-34	571117	3781174	35,5	34,2	139,3	3	0,8	8	1,5
kag-35	570756	3781453	29,6	70,8	76	9,5	0,8	8	1,5
kag-36	570791	3781718	74,5	81,3	150,3	0,8	0,8	8	1,5
kag-37	570341	3781785	9000	80	1300	0,8	0,8	8	1,5
kag-38	569920	3782281	2000	377	953,9	0,8	0,8	8	1,5
kag-39	572513	3780487	3200	916,6	1300	0,8	0,8	8	1,5
kag-40	572570	3780196	13000	121,9	859,7	26,4	0,8	8	1,5
kag-41	572591	3780221	13000	516,2	2000	20,6	0,8	8	7
kag-42	572741	3780322	48,8	340,1	112,1	0,8	0,8	8	1,5
kag-43	572963	3780298	107,1	259,6	270,1	0,8	0,8	8	1,5
kag-44	572930	3780460	73,2	122,3	114,8	30	0,8	8	1,5
kag-45	573169	3780652	62,7	740,8	656,1	21,4	0,8	8	6
kag-46	573396	3780563	107,9	416,9	291,8	17,4	0,8	8	1,5
kag-47	573060	3780939	309,9	16000	882,8	15,1	0,8	8	1,5

ادامه جدول 3

kag-48	572210	3781518	25,8	21,8	57,3	0,8	0,8	8	1,5
kag-49	572158	3781949	3400	887,7	20100	18,6	0,8	8	80
kag-50	573344	3781315	826,4	4100	1800	16,5	0,8	8	1,5
kag-52	573626	3781201	47	282,2	287,3	21	0,8	8	1,5
kag-53	573887	3781347	810,6	3200	1800	0,8	0,8	8	1,5
kag-54	573945	3781458	868,5	3000	1200	0,8	0,8	8	1,5
kag-55	573176	3782803	1700	2300	1300	0,8	0,8	8	1,5
kag-56	573205	3782655	47,2	103,7	135,6	3	0,8	8	1,5
kag-57	572954	3782327	112,8	107,3	468,1	0,8	0,8	8	1,5
kag-58	573372	3782058	35,3	121,7	313,3	0,8	0,8	8	1,5
kag-59	573498	3782387	129,5	905,7	369,5	23,3	0,8	8	1,5
kag-60	573270	3782524	420,2	222,7	836,8	4	0,8	8	1,5
kag-61	573260	3782557	66,4	1100	587,2	0,8	0,8	8	1,5
kag-80	571631	3779180	17000	550	580	10	0,8	8	1,5
kag-81	571362	3779104	21000	312	575	19,8	0,8	8	1,5
kag-82	571904	3779267	14000	637	1300	6	0,8	8	1,5
kag-83	571385	3779331	48000	540	780	36	0,8	8	1,5
kag-84	571773	3779520	11500	128	450	39	0,8	8	1,5
kcg-1	573538	3782582	155,7	659,3	338,5	8	0,8	8	1,5
kcg-2	573617	3782667	208,6	858,3	588,2	11,1	0,8	8	1,5
kcg-3	573616	3782692	177,4	461,8	448,4	10,3	0,8	8	1,5
kcg-4	573285	3782834	136,2	222,5	197,5	3	0,8	8	1,5
kcg-5	573423	3783120	613,9	3300	1700	0,8	0,8	8	1,5
kcg-7	573698	3783042	37,7	44,7	515,5	0,8	0,8	8	1,5
kcg-8	573695	3783013	133,1	596,1	720,3	22,5	0,8	8	1,5
kcg-9	573652	3782701	143,7	395,2	408,9	8	0,8	8	1,5
kcg-10	573652	3782701	447,3	1900	672,1	13,2	0,8	8	1,5
kcg-11	573540	3783281	237,9	2000	66000	32,8	0,8	8	1,5
kcg-12	573790	3783470	50	44,1	96,4	0,8	0,8	8	1,5
kcg-13	574120	3783897	143,8	40540	11000	22,1	0,8	8	80
kcg-14	574567	3783986	10	247,2	199,2	0,8	0,8	8	1,5
kcg-15	574927	3783994	16,9	45,8	20	0,8	0,8	8	1,5
kcg-16	575063	3784809	137,8	429,2	427	0,8	0,8	8	1,5
kcg-17	575219	3784405	126,2	662,3	269,8	0,8	0,8	8	1,5
kcg-18	575172	3783793	31,8	97	179	0,8	0,8	8	1,5

جدول 4 نتایج تجزیه طلا نمونه‌های سنگی [8,1]

Sample	X	Y	Au (ppb)	Sample	X	Y	Au (ppb)
KAG- 54	573945	3781458	9000	KAG1	569797	3784006	60
KAG- 28	572420	3780246	890	KAG5	569561	3782657	3400
KAG- 55	573176	3782803	1010	KAG7	567882	3781661	340
KAG- 39	572513	3780487	620	KAG9	568283	3782331	48
KAG-41	572591	3780221	230	KAG15	569471	3779417	60
KAG-49	572158	3781949	80	KAG28	570123	3781076	450



شکل 12 نقشه‌های ژئوشیمی نمونه‌های سنگی [1, 8].

داشته است. توده‌های دیوریتی و کوارتر مونزونیتی، به احتمال زیاد در الیگوسن-میوسن نفوذ کرده و در مقاطع زمانی بعد نیز این فرایند ادامه داشته است. توده‌های آذرین نیمه عمیق متعددی در این گستره، برای اولین بار معرفی شدند. این توده‌ها از طیف ترکیبی هورنبلند

برداشتها و پیشنهادها
از آنجا که در کنگلومرای سازند کرمان (کرتاسه فوقانی-پالئوسن تحتانی) سنگهای آتشفسانی و توده‌های نفوذی مشاهده نشدند، فعالیت ماقمایی به صورت آتشفسانی از حدود ائوسن شروع و در طول ترشیاری در مقاطع زمانی مختلف ادامه

- [4] Esmaeily D., Nedelec M.V., Valizadeh F., Moore J., Cotton, "Petrology of the Jurassic Shah-kuh granite (Eastern Iran), with reference to tin mineralization", *J. of Asian Earth Sciences*, 25, (2005) 961-980.
- [5] Lensch G., Schmidt K., "Plate tectonic, orogeny, and mineralization in the Iranian fold belts results and conclusions", *N. Jb. Geol. Palaont. Abh.* 168, 2/3: 558-568 (1984).
- [6] Tarkian M., Lotfi M., Baumann A., "Magmatic copper and Lead Zinc ore deposits in the Central Lut, Eastern Iran", *N. Jb. Geol. Palaont. Abh.*, 168, 2/3: 497-523 (1984).
- [7] Tarkian M., Lotfi M., Bauman A., "Tectonic, magmatism and the formation of mineral deposits in central Lut, East of Iran", *Geol. Survey of Iran, Rep. No. 57*, p. 357-383 (1983).
- [8] پورخسرو م., "پترولوزی، آلتراسیون، آکتشافات ژئوشیمیایی و کانی‌سازی منطقه کجه شمال غرب فردوس"، پایان نامه کارشناسی ارشد زمین‌شناسی اقتصادی. گروه زمین‌شناسی دانشگاه فردوسی مشهد (1385).
- [9] Cox K.G., Bell J.D., Pankhurst R.J., "The interpretation of igneous rocks", London, Allen and Unwin, 450 p (1979).
- [10] خراسانی م., "پترگرافی، ژئوشیمی و پترولوزی سنگ‌های آتشفشاری غرب فردوس"، پایان نامه کارشناسی ارشد پترولوزی، دانشگاه تربیت معلم تهران، 145 صفحه (1378).
- [11] کریم‌پور م., عاشوری ع., سعادت س., قورچی م., "پتروفیزیک، موقعیت تکتونیکی و کانی‌سازی توده‌های نفوذی و سنگ‌های آتشفشاری طاهرآباد و شرق بجستان"، در مرحله چاپ مجله زمین‌شناسی ایران دانشگاه فردوسی مشهد (1386).
- [12] Shand S.J., "Eruptive Rocks", John Wiley & Sons (1943).
- [13] Peccarillo A., Taylor S.R., "Geochemistry of the Eocene calc-alkaline volcanic rocks from the Kastamonu area northern Turkey", Contributions to Mineralogy and Petrology, Vol.58, (1976) p.63-81.
- [14] McDonough W.F., Frey F.A., "REE in upper mantle rocks. In: Geochemistry and mineralogy of rare Earth elements", Lipin, B. and McKay, G.R. (Editors), Mineralogical Society of America, Chelsea, Michigan. (1989) 99-145.

دیوریت پورفیری، هورنبلند بیوتیت دیوریت پورفیری، هورنبلند بیوتیت کوارتز مونزونیت پورفیری، بیوتیت کوارتز مونزونیت پورفیری، کوارتز مونزوندیوریت پورفیری، هورنبلند کوارتز مونزونیت پورفیری، کوارتز مونزونیت پورفیری، و گرانیت پورفیری برخوردارند.

توده‌های نفوذی منطقه رحیمی در رده بندی ایشی‌هارا [16] بیشتر در گستره سری مگنتیت یا گرانیتهای اکسیدی بوده و گرانیت پورفیری از سری ایلمینیت است. به استثنای گرانیت پورفیری تمامی توده‌ها در رده‌بندی چاپل [17] جزء گرانیتهای نوع (I) هستند.

شناسایی دو مجموعه از زون دگرسان؛ 1- مجموعه زون-های سیلیسی (سیلیس-سریسیت-پروپیلیتیک، زون سیلیسی - پروپیلیتیک و زون سیلیسی - سریسیت) واقع در خاور نقشه در راستای گسل رحیمی و گسل کجه که به توده گرانیت پورفیری وابسته هستند. 2- مجموعه دگرسانی پروپیلیتیک، سریسیتیک و آرزیلیک در مرکز و باخترا نقشه که با مجموعه توده‌های نفوذی مونزونیت - کوارتز مونزونیت و دیوریت ارتباط دارند.

کانی‌سازی وابسته به گرانیت پورفیری دارای نابهنجاری آرگونیت Mo, Pb, Zn, Ag رگه‌ای با کوارتز مونزونیت - مونزونیت پورفیری وابسته‌اند. نابهنجاری عناصر Cu, Pb, Au, Zn, Ag در این گستره مشاهده شد. بر پایه توده‌های آدرین نیمه عمیق مونزونیت - کوارتز مونزونیت و دیوریت، نوع و گسترش زون‌های دگرسان و نابهنجاری عناصر Cu, Pb, Au, Zn, Ag احتمالاً در منطقه کانی‌سازی مس پورفیری تشکیل شده است.

مراجع

- [1] خسروی م., "پترولوزی، آلتراسیون، کانی‌سازی و آکتشافات ژئوشیمیایی منطقه رحیمی شمال غرب فردوس"، پایان نامه کارشناسی ارشد زمین‌شناسی اقتصادی. گروه زمین‌شناسی دانشگاه فردوسی مشهد (1385).
- [2] Dehghani G., "Schwerefeld und Krustenaufbau in Iran- Hamburger Geophys", Einzelscher., R. A., H., 54, S., Hamburg (1981).
- [3] آقاباتی ع., "زمین‌شناسی ایران، سازمان زمین‌شناسی و اکتشافات معدنی کشور، (1383) 586 صفحه.

[15] سازمان صنایع و معادن استان خراسان رضوی، "گزارش اکتشاف مقدماتی مس، سرب و روی چاه پالون فردوس"، 123 صفحه (1381).

[16] Ishihara S., "The magnetite-series and ilmenite-series granitic rocks", Mining geology, Japan, 27, (1977) p. 43- 300.

[17] Chappel B.C., White A.J.R., "Two contrasting granite types", Pacific Geology, 8, (1974) 173-174.

Archive of SID